

КРАТКИЕ СООБЩЕНИЯ

01;10

© 1993 г.

Журнал технической физики, т. 63, в. 1, 1993

**ОСЕСИММЕТРИЧНАЯ ТРЕХЭЛЕКТРОДНАЯ СИСТЕМА
С ИНВАРИАНТНОЙ ФОКУСИРОВКОЙ
ДЛЯ ПУЧКА С КОНЕЧНЫМ ЭМИТТАНСОМ**

E.B.Шпак

Системы с инвариантной фокусировкой широко используются в электронных и ионных приборах и установках. Наиболее изученные из такого рода систем — осесимметричные представляют собой наборы цилиндров или диафрагм. Эти системы обеспечивают сохранение неизменным положение изображения объекта, расположенного на заданном расстоянии от системы, при изменении энергии пучка. Простейшими из осесимметричных линз с инвариантной фокусировкой являются трехэлектродные системы. Изменением отношения потенциалов на третьем и первом электродах V_3/V_1 обеспечивается изменение энергии частиц в пучке, изменением потенциала на втором электроде V_2 подбираются режимы, в которых изменение V_3/V_1 не приводит к изменению положения изображения объекта, расположенного на расстоянии P от центра системы.

Не менее актуальной, чем расчет описанных выше систем, является задача нахождения соотношений между потенциалами на электродах, т. е. зависимостей $V_2/V_1 = f(V_3/V_1)$, при которых сохраняется неизменным положение формируемого системой кроссовера. При этом полагается, что пучок имеет конечный эмиттанс, т. е. начальные значения углов наклона траекторий и координат на входе занимают некоторую область в фазовой плоскости $r\tau'$ (r — радиальная координата, $\tau' = dr/dz$, z — главная оптическая ось системы).

В данной работе исследуется осесимметричная система с инвариантной фокусировкой для пучка с конечным эмиттансом, обеспечивающая сохранение неизменным положения сформированного ею кроссовера при изменении энергии пучка. Она состоит из трех диафрагм с диаметрами отверстий D , расположенных на расстояниях $A = 0.5D$ друг от друга. Толщина диафрагм мала по сравнению с диаметром D . Реперная плоскость, от которой отсчитываются расстояния до кроссоверов на входе и выходе, совмещена с центром линзы.

Рассматривался случай, когда начальные значения координат r и углов наклона τ' в кроссовере на входе ограничены фазовыми контурами

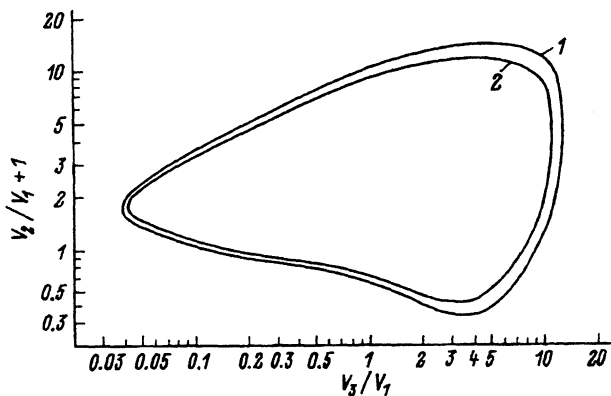


Рис. 1. Зависимости потенциалов на электродах линзы с инвариантной фокусировкой при $P = 6$, $G = 2$.
1 — $+\omega = 0.3$, 2 — 3.

вида

$$\left(\frac{r_0}{R_0}\right)^k + \left(\frac{r'_0}{R'_0}\right)^k = 1, \quad (1)$$

где R_0 и R'_0 — максимальные значения начальных значений r_0 и r'_0 соответственно, $k = 2m/(2n - 1)$, m и n — целые числа.

Выражения, характеризующие преобразования кроссовера в кроссовер, в этом случае были получены в работе [1]

$$f_1 f_2 = (P + B - F_1)(G - F_2), \quad (2)$$

где $B = \omega^k (P - F_0)^{1-k}$, $\omega = R_0/R'_0$, f_1 и f_2 — фокусные расстояния в пространстве объектов и изображений, F_1 и F_2 — расстояния от реперной плоскости до фокусов пространства объектов и изображений соответственно, P — расстояние от кроссовера на входе до центра линзы, G — расстояние от кроссовера на выходе до той же плоскости.

Для контуров (1) кроссовер пучка совпадает с минимумом его огибающей.

С помощью выражений (2) и значений кардинальных элементов осесимметричной линзы из трех диаграмм, приведенных в монографии [2], были рассчитаны зависимости потенциалов на электродах линзы, обеспечивающие инвариантную фокусировку для пучка с конечным эмиттансом. На рис. 1 приведены зависимости $(V_2/V_1) + 1 = f(V_3/V_1)$ при $P = 6$, $G = 2$ для двух значений $\omega = 0.3$ и 3 . Все линейные величины отнесены к D . Границный фазовый контур на входе — эллипс ($k = 2$). Кривая 1 ($\omega = R_0/R'_0 = 0.3$) практически совпадает с кривой, обеспечивающей сохранение постоянным положение изображения при заданном положении объекта [2], т. е. с соответствующей кривой при нулевом эмиттансе. При этом расстояние от объекта до реперной плоскости $P = 4$, а расстояние от изображения до той же плоскости $G = 6$.

С увеличением параметра ω , т. е. с увеличением линейного размера пучка в кроссовере R_0 или уменьшением разброса углов R'_0 , верхняя

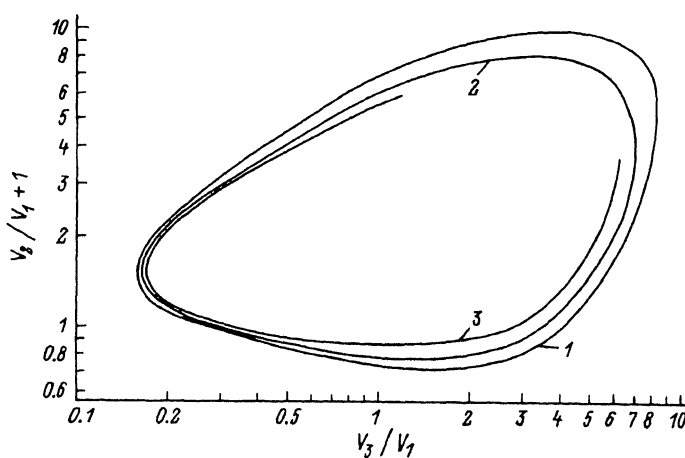


Рис. 2. Зависимости потенциалов на электродах линзы при $P = G = 6$.
1 — $\omega = 0.3$, 2 — 2, 3 — 3.

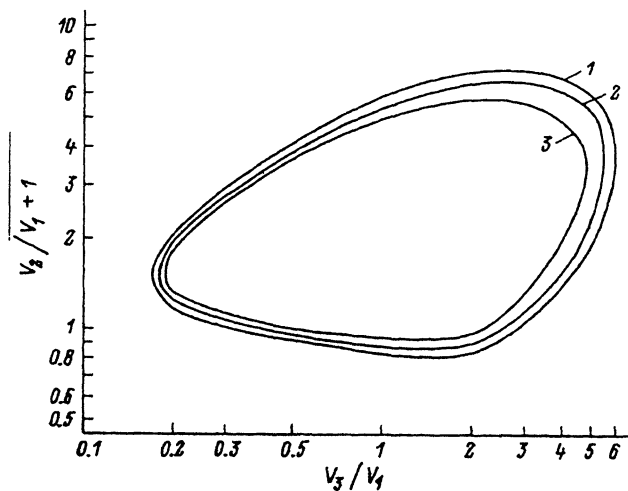


Рис. 3. Зависимости потенциалов при $P = 4$, $G = 6$.
1 — $\omega = 0.3$, 2 — 1, 3 — 1.4.

ветвь кривой смещается вниз, а нижняя — вверх, так что кривые находятся внутри кривой 1.

На рис. 2 приведены зависимости $V_2/V_1 + 1 = f(V_3/V_1)$ для случая, когда расстояния от кроссоверов на входе и выходе до реперной плоскости совпадают $P = G = 6$. Кривые 1–3 соответствуют значениям параметра $\omega = 0.3, 2$ и 3 . Кривая 1 ($\omega = 0.3$) также практически совпадает с соответствующей кривой с нулевым эмиттансом. С увеличением параметра ω кривые смещаются от кривой 1, находясь внутри нее. Влияние возрастаания ω оказывается значительно сильнее, чем в предыдущем случае ($P = 6, G = 2$) (рис. 1).

На рис. 3 те же кривые приведены для случая $P = 4, G = 6$, они соответствуют значениям $\omega = 0.3, 1$ и 1.4 . При $\omega = 1$ кривая 2 является замкнутой и находится внутри области, ограниченной кривой 1. С даль-

V_3/V_1	V_2/V_1					
	$k = \frac{4}{3}$		$k = 2$		$k = 4$	
0.2	0.131	1.27	0.152	1.21	0.184	1.16
1.2	-0.250	5.95	-0.221	5.58	-0.173	4.93
5.0	0.394	7.10	0.464	6.61	0.702	6.01

нейшим увеличением ω сохраняется только нижняя часть кривой. Верхняя часть кривой 1 отличается от нижней тем, что при больших значениях V_2/V_1 главные плоскости и фокальная плоскость пространства объектов смещены ближе к предмету. С увеличением параметра ω кроссовер на выходе всегда сдвигается от положения изображения при $\omega = 0$ в сторону фокальной плоскости линзы. Для того чтобы его положение осталось неизменным ($P = G = 6$ в данном случае), необходимо ослаблять линзу. При этом положение фокальной плоскости F_1 приближается к кроссоверу на входе быстрее для режимов, соответствующих верхней части кривой. При $F_1 \geq P$ линза кроссовера не формирует. При дальнейшем увеличении параметра $\omega \geq 2$ для заданного значения $P = 4$ сформировать кроссовер на расстоянии $G = 6$ от центра линзы невозможно.

Были проведены расчеты для различных фазовых граничных контуров в кроссовере на входе вида (1) при $\omega = 1$, $Px = 4$, $G = 6$. Результаты расчета даны в таблице.

Для контуров, ограничивающих большую площадь на фазовой плоскости rr' , отличие от кривых с нулевым эмиттансом больше.

Из проведенных расчетов можно сделать следующие выводы. При уменьшении параметра $\omega = R_0/R'_0$ зависимости $V_2/V_1 = \varphi(V_3/V_1)$ при заданном положении кроссоверов на входе и выходе приближаются к тем же зависимостям, при которых неизменными поддерживаются положения предмета и изображения. С увеличением ω кривые смещаются таким образом, что оказываются внутри тех же кривых, соответствующих меньшим значениям ω . При дальнейшем увеличении кривые становятся цезамкнутыми, причем сначала исчезает верхняя часть кривых. Возрастание эмиттанса за счет увеличения разброса углов и возрастания размеров пучка оказывается на изменении хода кривых противоположным образом. Влияние увеличения размера пучка (или уменьшение угловых размеров) оказывается тем сильнее, чем больше выходное плечо G относительно входного P .

Список литературы

- [1] Фишкова Т.Я., Шнак Е.В. // ЖТФ. 1987. Т. 57. Вып. 4. С. 817-820.
- [2] Harting E., Read F.H. Electrostatic Lenses. Amsterdam-Oxford-New York: Elsevier Sci. Publish. Company, 1976. 322 p.

Физико-технический институт им. А.Ф. Иоффе
Санкт-Петербург

Поступило в Редакцию
18 июля 1991 г.